

# Lernalgorithmen

## SoSe 2012 in Trier

Henning Fernau  
Universität Trier  
fernau@uni-trier.de

# Lernalgorithmen

## Gesamtübersicht

0. Einführung
1. Identifikation (aus positiven Beispielen)
2. Zur Identifikation regulärer Sprachen, mit XML-Anwendung
3. HMM — Hidden Markov Models
4. Lernen mittels Anfragen & zur Roboterorientierung
5. Lernen mit negativen Beispielen
6. PAC-Lernen

## Informanten-Lernen (Hauptquelle: Das Lehrbuch von C. de la Higuera)

Wiederum: Beschränkung auf reguläre Sprachen / DEAs.

Beispielstrom für  $L$  kommt mit **positiven oder negativen Markierungen**, d.h.:  $(w, +)$  ist im Beispielstrom gdw.  $w \in L$ , und  $(w, -)$  ist im Beispielstrom gdw.  $w \notin L$ .

Nach “endlicher Zeit” haben wir daher zwei Sample-Mengen  $X_+$  und  $X_-$  gesehen, die zusammen das Sample  $X = (X_+, X_-)$  bilden, mit  $X_+ \subseteq L$  und  $X_- \subseteq \bar{L}$ .

Wir zeichnen jetzt bei DEAs eine Menge akzeptierender Zustände  $F_A$  und eine Menge **verwerfender** Zustände  $F_R$  (mit  $F_A \cap F_R = \emptyset$ ) aus.

$A = (\Sigma, Q, q_0, F_A, F_R, \delta)$  heißt **schwach konsistent** mit  $X = (X_+, X_-)$  gdw.  $\forall w \in X_+ : \delta^*(q_0, w) \in F_A$  und  $\forall w \in X_- : \delta^*(q_0, w) \notin F_A$ .

$A$  heißt **stark konsistent** mit  $X = (X_+, X_-)$  gdw.  $\forall w \in X_+ : \delta^*(q_0, w) \in F_A$  und  $\forall w \in X_- : \delta^*(q_0, w) \in F_R$ .

## Übersicht über die heutige Vorlesung

- Grundkonzepte und Probleme beim Informanten-Lernen
- Vorstellung zweier Algorithmen  
Gold und RPNI
- Was macht Informanten-Lernen schwierig

## Grundkonzepte

- Präfixbäume mit positiven und negativen Beispielen für den Algorithmus von Gold
- Allgemeines zu Zustandsverschmelzungsalgorithmen:
  - Kompatibilität
  - Verschmelzen
  - Befördern
- Beobachtungstabelle

## Präfixbäume mit positiven und negativen Beispielen

---

**Algorithm 8.1:** BUILD-PTA

---

**Data:** a sample  $\langle X_+, X_- \rangle$

**Result:** A PTA  $\mathcal{A} = \text{PTA}(\langle X_+, \emptyset \rangle) = \langle \Sigma, Q, q_\lambda, \mathbb{F}_A, \mathbb{F}_R, \delta \rangle$

$Q \leftarrow \{q_u : u \in \text{PREF}(X_+ \cup X_-)\};$

**for**  $q_{u,a} \in Q$  **do**

  |  $\delta(q_u, a) \leftarrow q_{ua}$

**end**

**for**  $q_u \in Q$  **do**

  | **if**  $u \in X_+$  **then**

    |  $\mathbb{F}_A \leftarrow \mathbb{F}_A \cup \{q_u\}$

  | **end**

  | **if**  $u \in X_-$  **then**

    |  $\mathbb{F}_R \leftarrow \mathbb{F}_R \cup \{q_u\}$

  | **end**

**end**

---

## Präfixbäume mit positiven und negativen Beispielen

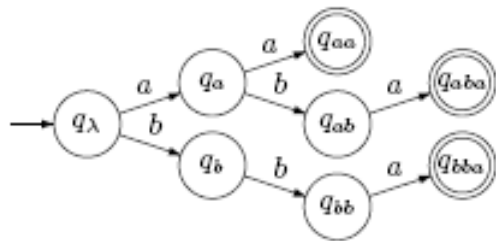


Fig. 8.3.  $\text{PTA}(\{(aa, +) (aba, +) (bba, +)\})$ .

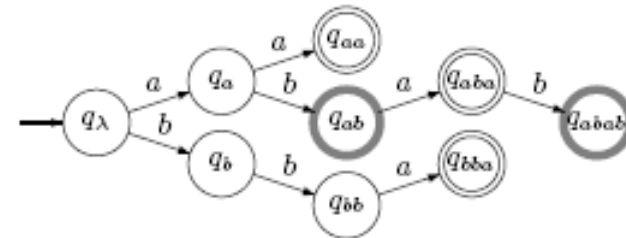
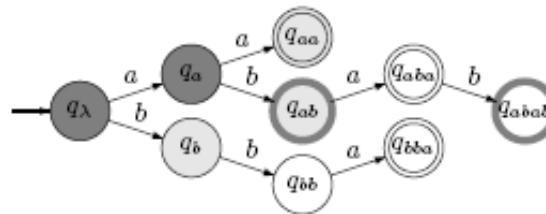


Fig. 8.2.  $\text{PTA}(\{(aa, +) (aba, +) (bba, +) (ab, -) (abab, -)\})$ .

## Zur Analyse / Angabe von Zustandsverschmelzungsalgorithmen

- *Rote Zustände* (dunkelgrau) sind bereits betrachtet und werden nicht mehr später revidiert.
- *Blaue Zustände* (hellgrau) sind augenblickliche Kandidaten für die Verschmelzung mit roten Zuständen.
- *Weißer Zustände* werden momentan nicht betrachtet.





## Zur Analyse / Angabe von Zustandsverschmelzungsalgorithmen

Drei Haupt-Fragen müssen zunächst geklärt werden:

(1) *Kompatibilitätsfrage*: Wann sind zwei Zustände äquivalent und sollten also verschmolzen werden?

Konkret betrachte Paare von roten und blauen Zuständen

(2) *Merge*: Wie ist die Verschmelzung durchzuführen (und wann abzulehnen)?

(3) *Beförderung / Promotion*: Wann kann man von blauen Zuständen sicher sagen, dass man sie zu roten machen kann? Inkompatibilität entdeckt

## Kompatibilitätsproblem Betrachte:



Fig. 8.6.  $PTA(\{aa, +\}, (\lambda, -))$ .

Verschmilzt man  $q_\lambda$  und  $q_a$ , so werden dadurch keine Wörter akzeptiert, die vorher verworfen wurden und umgekehrt.

**Problem:** Der neue Automat ist nicht deterministisch, und durch nochmaliges Verschmelzen (mit  $q_{aa}$ ) entsteht ein Konsistenzproblem: Das leere Wort wird nicht länger verworfen.

~> Konsistenzprüfungen und Verschmelzungs(tests) müssen “verwoben” entschieden werden.

# Verschmelzen

---

**Algorithm 8.2: MERGE**

---

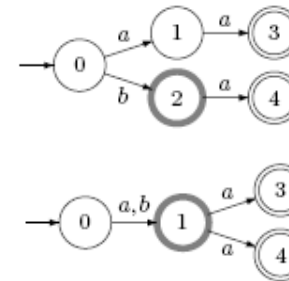
**Input:** NFA  $\mathcal{A} = \langle \Sigma, Q, I, F_A, F_R, \delta_N \rangle$ , 2 states  $q_1$  and  $q_2$   
**Output:** NFA  $\mathcal{A} = \langle \Sigma, Q', q_0, F_A, F_R, \delta'_N \rangle$  in which  $q_1$  and  $q_2$  have been merged into  $q_1$

```
for  $q \in Q$  do
  for  $a \in \Sigma$  do
    if  $q_2 \in \delta_N(q, a)$  then
      |  $\delta_N(q, a) \leftarrow \delta_N(q, a) \cup \{q_1\}$ 
    end
    if  $q \in \delta_N(q_2, a)$  then
      |  $\delta_N(q_1, a) \leftarrow \delta_N(q_1, a) \cup \{q\}$ 
    end
  end
end
end
if  $q_2 \in I$  then
  |  $I \leftarrow I \cup \{q_1\}$ 
end
if  $q_2 \in F_A$  then
  |  $F_A \leftarrow F_A \cup \{q_1\}$ 
end
if  $q_2 \in F_R$  then
  |  $F_R \leftarrow F_R \cup \{q_1\}$ 
end
end
```

---

## Problem:

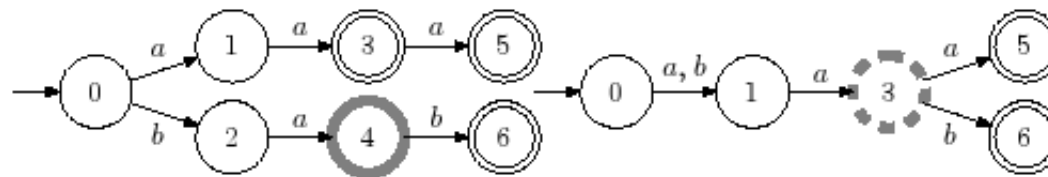
Nichtdeterminismus kann entstehen



## Verschmelzen

Das Auflösen von Nichtdeterminismus-Konflikten durch (weiteres) Zustandsverschmelzen kann zu Inkonsistenzen führen:

Ist im Beispiel (rechts) Zustand 3 akzeptierend oder verwerfend?



Hier wurde zunächst (versuchsweise) Zustand 1 und 2 verschmolzen; dann erst tritt der aufzulösende Nichtdeterminismus-Konflikt auf.

## Befördern (Promotion)

Ist  $q_u$  von blau nach rot zu befördern, so werden die direkt von  $q_u$  aus erreichbaren Nachbarn von weiß nach blau befördert (Kandidaten).

---

**Algorithm 8.3:** PROMOTE

---

**Input:** DFA :  $\mathcal{A} = \langle \Sigma, Q, q_0, \mathbb{F}_A, \mathbb{F}_R, \delta \rangle$ , a BLUE state  $q_u$ , sets RED, BLUE, WHITE

**Output:** DFA :  $\mathcal{A} = \langle \Sigma, Q, q_0, \mathbb{F}_A, \mathbb{F}_R, \delta \rangle$ , sets RED, BLUE, WHITE

RED  $\leftarrow$  RED  $\cup$   $\{q_u\}$ ;

**for**  $a \in \Sigma$  :  $q_{ua}$  is WHITE **do**

  | add  $q_{ua}$  to BLUE

**end**

---

**Beobachtungstabelle** im Algorithmus von Gold, Terminologie de la Higuera

Ähnlich wie beim MAT-Lernen, nur dass jetzt ausdrücklich “Nichtwissen” aufgeführt werden muss, da Wissen nicht erfragt werden kann.

$O : STA \times EXP \rightarrow \{0, 1, *\}$ . \* bezeichnet sog. *Löcher*.

STA: Zustandsmenge, indiziert durch präfixabgeschlossene Wortmenge.

STA wird in BLUE und RED unterteilt. BLUE enthält genau solche Zustände, die nicht selbst Präfix eines anderen Zustands sind.

EXP: suffixabgeschlossene Menge der *Experimente*

Eine Tabelle heißt *vollständig* gdw. sie enthält keine Löcher.

Schreibweise:  $OT[u][e]$  für  $O(u, e)$ .

Somit bezeichnet  $OT[u]$  eine Zeile.

Zeilen  $OT[u]$  und  $OT[v]$  heißen *offenkundig verschieden* (kurz: OD) gdw. es gibt

Experiment  $e \in EXP$ , sodass  $\{OT[u][e], OT[v][e]\} = \{0, 1\}$ .

Nicht offenkundig verschiedene Zeilen heißen *konsistent*.

**Beobachtungstabelle** im Algorithmus von Gold, Terminologie de la Higuera

Ein Beispiel:

	$\lambda$	a	b
$\lambda$	0	*	1
a	*	0	0
b	1	1	*
aa	0	0	*
ab	0	*	*

Die Tabelle ist nicht vollständig.

Wie hinfert üblich, werden die roten (oben stehenden) Zustände von den blauen durch einen Strich getrennt.

$OT[a]$  und  $OT[\lambda]$  sind inkonsistent.

$OT[aa]$  ist sowohl mit  $OT[a]$  als auch mit  $OT[\lambda]$  konsistent.

Eine vollständige Tabelle heißt *geschlossen*, wenn es zu jedem blauen Zustand  $u$  einen roten  $v$  gibt mit  $OT[u] = OT[v]$ .

	$\lambda$	$a$
$\lambda$	0	1
$a$	1	0
$b$	1	0
$aa$	0	0
$ab$	1	0

	$\lambda$	$a$
$\lambda$	0	1
$a$	1	0
$b$	0	1
$aa$	0	1
$ab$	1	0

Die linke Tabelle ist nicht geschlossen (wegen  $aa$ ), wohl aber die rechte.



## Gold baut einen Automaten (fast wie im MAT-Fall)

---

### Algorithm 8.4: GOLD-BUILD-AUTOMATON

---

**Input:** A closed and complete observation table  $(\text{STA}, \text{EXP}, \text{OT})$

**Output:** A DFA  $\mathcal{A}(\langle \text{STA}, \text{EXP}, \text{OT} \rangle) = \langle \Sigma, Q, q_\lambda, \mathbb{F}_A, \mathbb{F}_R, \delta \rangle$

$Q \leftarrow \text{RED};$

$\mathbb{F}_A \leftarrow \{q_{we} \in \text{RED} : \text{OT}[w][e] = 1\};$

$\mathbb{F}_R \leftarrow \{q_{we} \in \text{RED} : \text{OT}[w][e] = 0\};$

**for**  $q_w \in Q$  **do**

**for**  $a \in \Sigma$  **do**

$\delta(q_w, a) \leftarrow q_u : q_u \in \text{RED} \wedge \text{OT}[u] = \text{OT}[wa]$

**end**

**end**

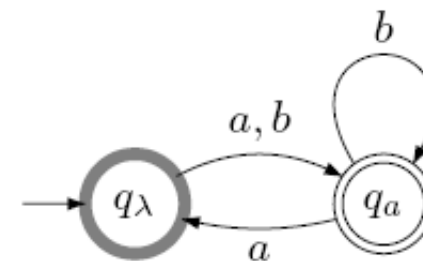
---

## Gold baut einen Automaten (fast wie im MAT-Fall)

Ein Beispiel

	$\lambda$	$a$
$\lambda$	0	1
$a$	1	0
$b$	1	0
$aa$	0	1
$ab$	1	0

	$a$	$b$
$q_\lambda$	$q_a$	$q_a$
$q_a$	$q_\lambda$	$q_a$



**Problem:** Wir werden in der Regel nur unvollständige Tafeln aus einem vorliegenden Sample bekommen, und zwar mit folgendem Verfahren:

---

**Algorithm 8.5:** GOLD-BUILDTABLE

---

**Input:** A sample  $X$ , a set RED prefix-closed

**Output:** A table  $\langle \text{RED}, \text{EXP}, \text{OT} \rangle$

$\text{EXP} \leftarrow \text{SUFF}(X)$ ;

$\text{BLUE} \leftarrow \text{RED} \cdot \Sigma \setminus \text{RED}$ ;

for  $p \in \text{RED} \cup \text{BLUE}$  do

    for  $e \in \text{EXP}$  do

        if  $p.e \in X_+$  then

            |  $\text{OT}[p][e] \leftarrow 1$

        else

            if  $p.e \in X_-$  then

                |  $\text{OT}[p][e] \leftarrow 0$

            else

                |  $\text{OT}[p][e] \leftarrow *$

            end

        end

    end

end

---

**Ein Beispiel** für  $X = \{(aa, +), (bbaa, +), (aba, -)\}$

Die Sterne sind der Übersichtlichkeit wegen nicht enthalten.

	$\lambda$	$a$	$aa$	$ba$	$aba$	$baa$	$bbaa$
$\lambda$			1		0		1
$a$		1		0			
$b$						1	
$aa$	1						
$ab$		0					

**Lemma:** Gibt es einen blauen Zustand, der offenkundig verschieden von jedem roten ist, so kann die Tabelle nicht geschlossen werden, auf welche Weise auch immer die Löcher gefüllt werden.

Daher befördert der Algorithmus von Gold solche blauen Zustände.

## Der allgemeine Algorithmus nach Gold

Die Initialisierung baut Tafel unter der Annahme, nur  $\lambda$  wäre in RED.

---

**Algorithm 8.6:** Algorithm GOLD for DFA identification.

---

**Input:** a Sample  $X$

**Output:** a DFA  $\mathcal{A}$  consistent with the sample

$\langle \text{RED}, \text{EXP}, \text{OT} \rangle \leftarrow \text{GOLD-INITIALISE}(X);$

**while**  $\exists q_x \in \text{BLUE}$  such that  $\text{OT}[x]$  is OD **do**

    |  $\text{RED} \leftarrow \text{RED} \cup \{q_x\};$

    |  $\text{BLUE} \leftarrow \text{BLUE} \cup \{q_{xa}\};$

    | update OT

**end**

$\text{GOLD-FILLHOLES}(\text{OT});$

$\mathcal{A} \leftarrow \text{GOLD-BUILD-AUTOMATON}(\langle \text{RED}, \text{EXP}, \text{OT} \rangle);$

**if**  $\text{CONSISTENT}(\mathcal{A}, X)$  **then**

    | **return**  $\mathcal{A}$

**else**

    | **return**  $\text{PTA}(X)$

**end**

---

## Wie füllt Gold die Löcher?

In Golds Originalarbeit (1978) **gar nicht!**

Gold “rät einfach”, mit welchem roten Zustand ein blauer verschmolzen wird, sollte es Unsicherheiten geben.

Es wird also ein DEA aus einer unvollständigen Beobachtungstabelle abgeleitet. Durch “falsches Raten” können Inkonsistenzen entstehen.

De la Higuera schlägt in seinem Buch ein konkreteres Verfahren vor.

**Example 8.3.5** We provide an example run of Algorithm GOLD (8.6).

Let  $X_+ = \{bb, abb, bba, bbb\}$  and  $X_- = \{a, b, aa, bab\}$ .

We first build the observation table corresponding to  $\text{RED} = \{q_\lambda\}$ .

	$\lambda$	$a$	$b$	$aa$	$ab$	$ba$	$bb$	$abb$	$bab$	$bba$	$bbb$
$\lambda$		0	0	0			1	1	0	1	1
$a$	0	0					1				
$b$	0		1		0	1	1				

Table 8.2. The table for  $X_+ = \{bb, abb, bba, bbb\}$   $X_- = \{a, b, aa, bab\}$  and  $\text{RED} = \{q_\lambda\}$

Now, Table 8.2 is not closed because of row  $\text{OT}[b]$ . So we promote  $q_b$  and update the table obtaining Table 8.3. But Table 8.3 is not closed because of

	$\lambda$	$a$	$b$	$aa$	$ab$	$ba$	$bb$	$abb$	$bab$	$bba$	$bbb$
$\lambda$		0	0	0			1	1	0	1	1
$b$	0		1		0	1	1				
$a$	0	0					1				
$ba$			0								
$bb$	1	1	1								

Table 8.3. The table for  $X_+ = \{bb, abb, bba, bbb\}$   $X_- = \{a, b, aa, bab\}$  and  $\text{RED} = \{q_\lambda, q_b\}$ .

$\text{OT}[bb]$ . Since  $q_{bb}$  is obviously different from both  $q_\lambda$  (because of experiment  $\lambda$ ) and  $q_b$  (because of experiment  $b$ ), we promote  $q_{bb}$  and update the table to Table 8.4:



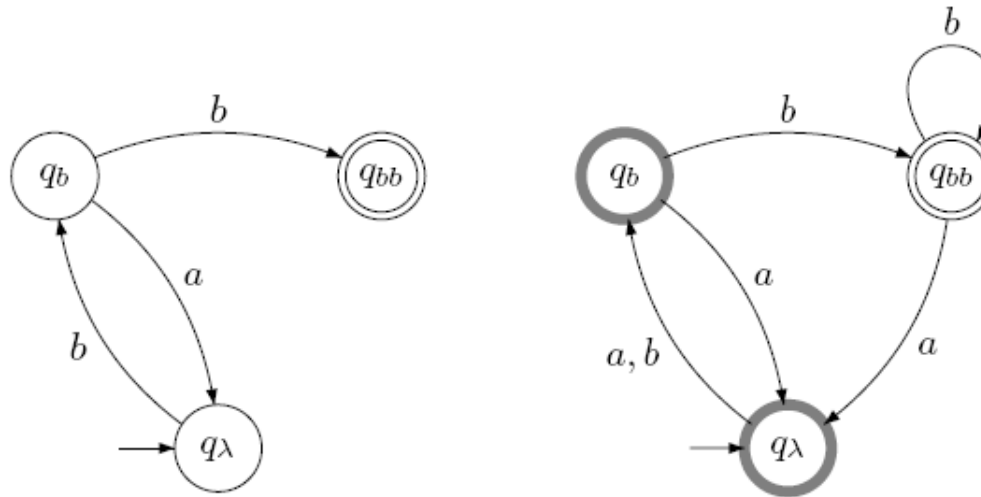
	$\lambda$	$a$	$b$	$aa$	$ab$	$ba$	$bb$	$abb$	$bab$	$bba$	$bbb$
$\lambda$		0	0	0			1	1	0	1	1
$b$	0		1		0	1	1				
$bb$	1	1	1								
$a$	0	0					1				
$ba$			0								
$bba$	1										
$bbb$	1										

Table 8.4. The table for  $X_+ = \{bb, abb, bba, bbb\}$   $X_- = \{a, b, aa, bab\}$  and  $\text{RED} = \{q_\lambda, q_b, q_{bb}\}$ .

At this point there are no BLUE rows that are obviously different from the RED rows. This yields a certain number of safe decisions about the automaton. These are depicted in Figure 8.11(a). The others have to be guessed:

- for  $a$  equivalent lines could be  $\lambda$  and  $b$  (so  $q_a$  could be either  $q_\lambda$  or  $q_b$ ),
- for  $bba$  possible candidates are  $\lambda$  and  $bb$  (so  $q_{bba}$  could be either  $q_\lambda$  or  $q_{bb}$ ),
- for  $bbb$  possible candidates are  $\lambda$  and  $bb$  (so  $q_{bbb}$  could be either  $q_\lambda$  or  $q_{bb}$ ).

**Raten** kann fehlschlagen. Links steht die “sichere Info”.

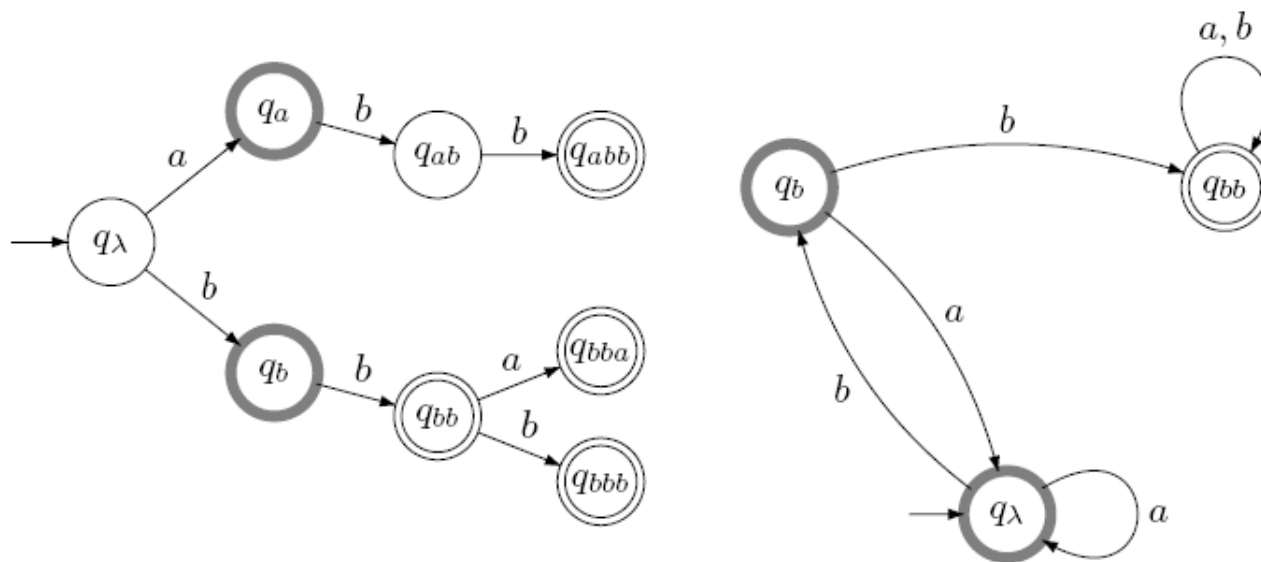


Im Beispiel wird  $bba$  verworfen, was aber erst nach der (z.B. Greedy-) Konstruktion des DEA ersichtlich wird.

Im Falle solch eines falschen Ratens wird einfach der PTA zurückgeliefert.

**Raten** kann fehlschlagen, muss aber nicht. . .

Hier werden zwei mögliche Ausgaben gezeigt, eine wegen falschen und eine durch richtiges Raten(s).



**Satz:** Für ein Sample  $X$  liefert der Algorithmus von Gold stets einen DEA, der konsistent mit  $X$  ist. Im Limes wird jedwede reguläre Sprache identifiziert.

Um letzteres einzusehen, konstruiere man zu vorgelegtem DEA ein Sample, sodass alle Zustände als offenkundig verschieden erkannt werden.

Für einen DEA mit  $n$  Zuständen gibt es so ein Sample der Höchstgröße  $n^3$  (mit Zeichenketten der Länge maximal  $n^2$ ).

## **RPNI**—eine algorithmische Alternative

RPNI (regular positive and negative grammatical inference) verschmilzt sehr viel schneller Zustände als der Algorithmus von Gold.

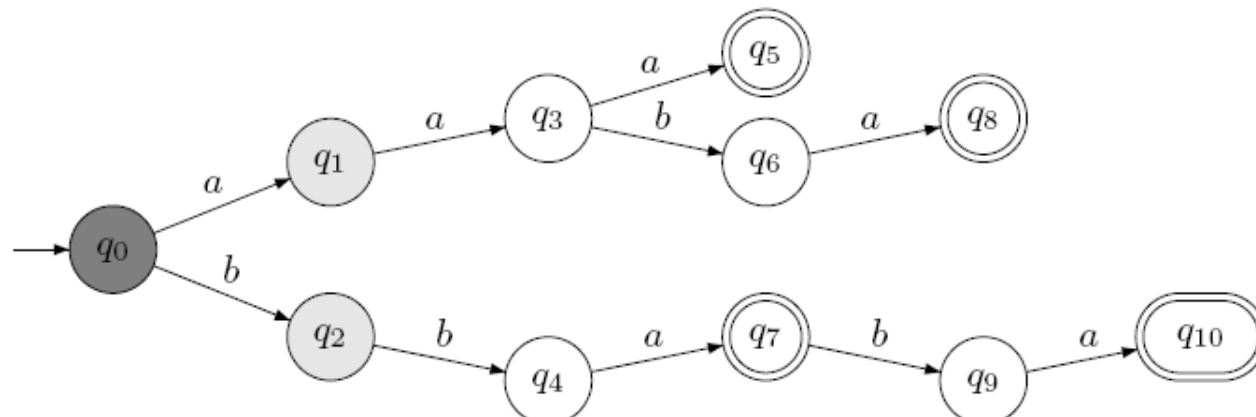
Er startet mit einem Präfixakzeptor zu  $X_+$  und verschmilzt nach und nach Zustände (wenn nicht Inkompatibilitäten dagegen stehen).

Es gibt zahlreiche Varianten, und wir wollen im Folgenden nur eine dieser “bei der Arbeit beobachten”.

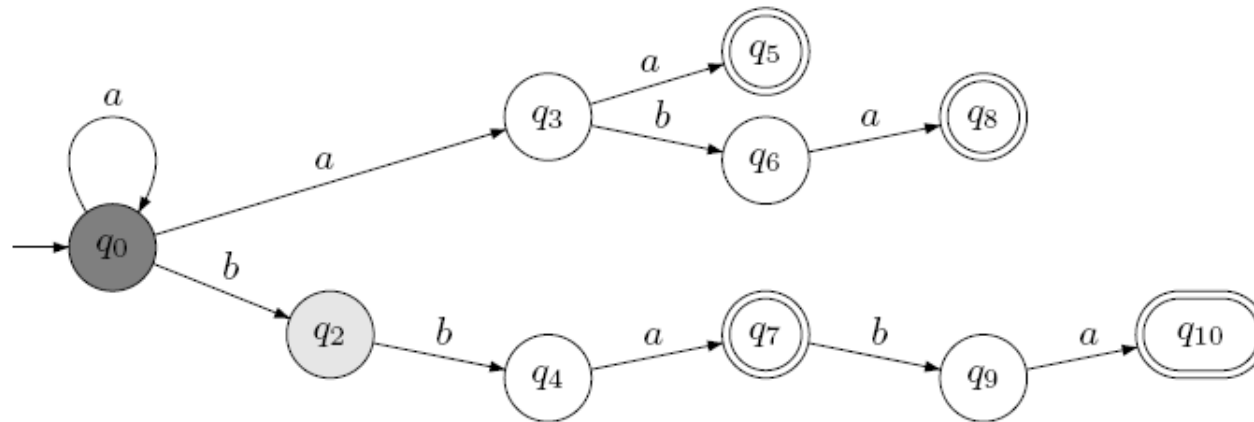
Wir betrachten als Datenmenge:

$X_+ = \{aaa, aaba, bba, bbaba\}$ ,  $X_- = \{a, bb, aab, aba\}$

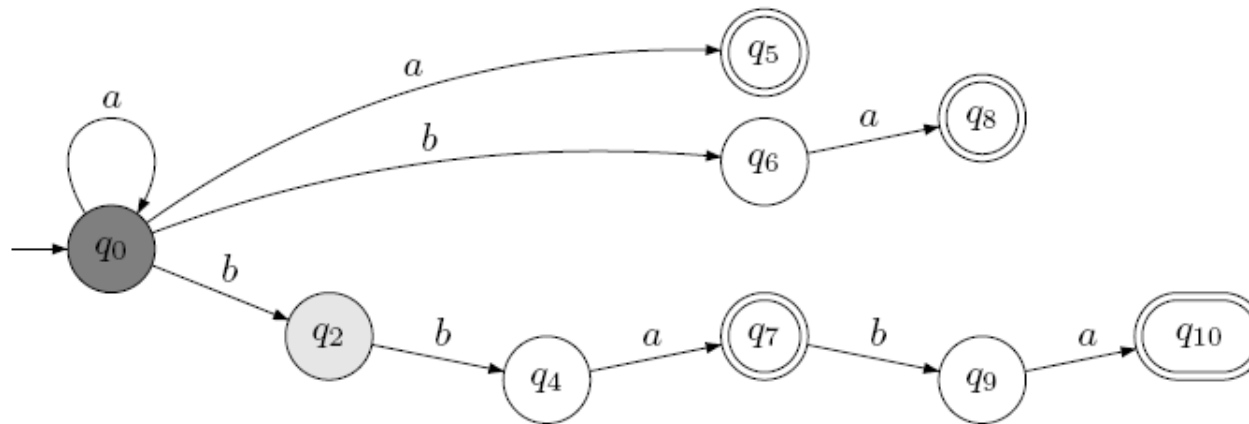
Daraus bauen wir zunächst den PTA zu  $X_+$ :



Wir versuchen nun,  $q_0$  und  $q_1$  zu verschmelzen.



Um Nichtdeterminismus aufzulösen, müssen wir weiter verschmelzen mit  $q_3$ .



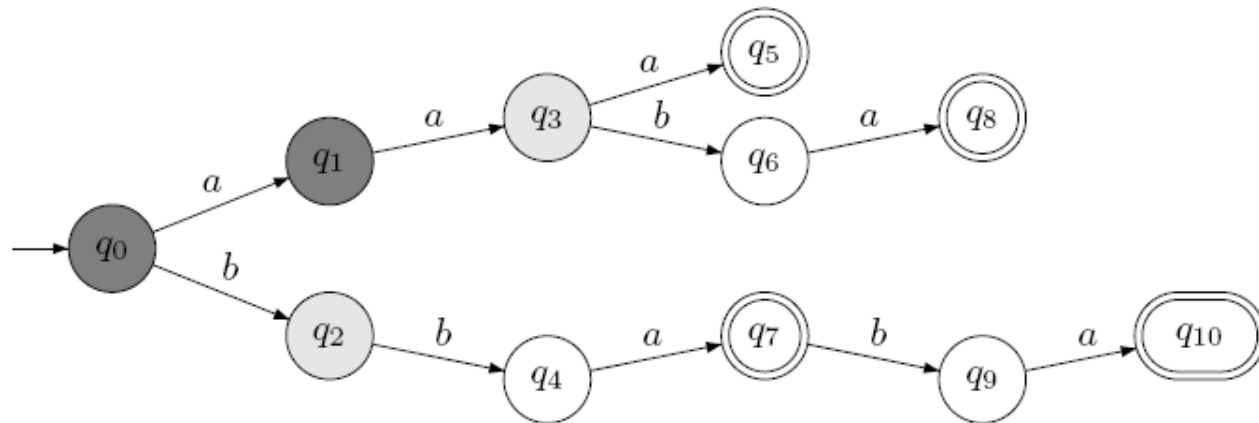
Betrachte die negativen Beispiele:  $\leadsto$   $a$  wird fälschlicherweise akzeptiert.

Daher dürfen wir  $q_0$  und  $q_1$  nicht verschmelzen.

Das hätten wir schon früher merken können: Schon der nichtdeterministische Automat der vorigen Folie hat fälschlicherweise  $aba$  akzeptiert.

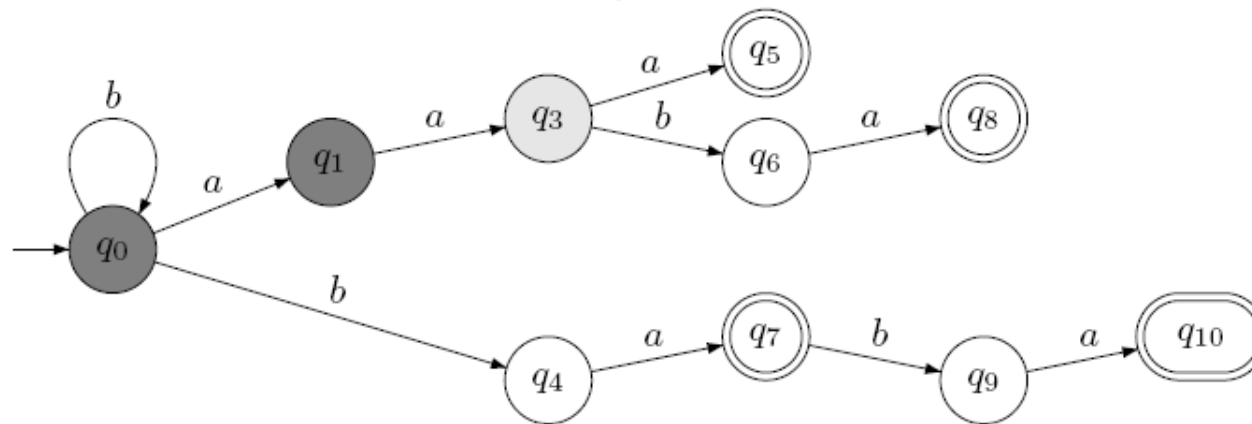


Jedenfalls kann  $q_1$  jetzt befördert werden, und sein Nachfolger wird somit blau.

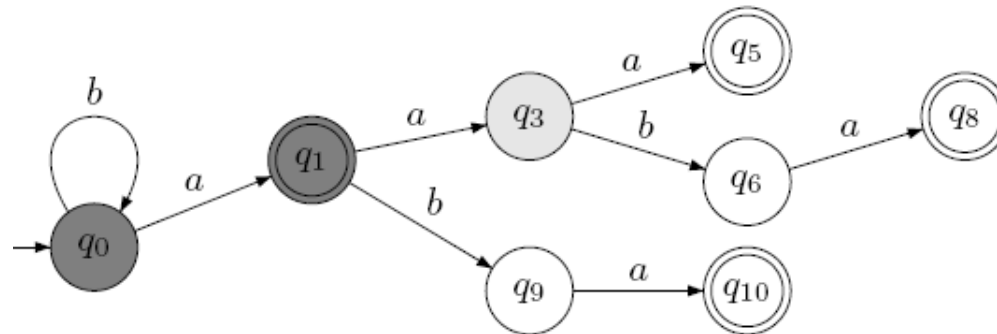


Nächster Versuch: Verschmilz  $q_0$  und  $q_2$ :

8.4 RPNI

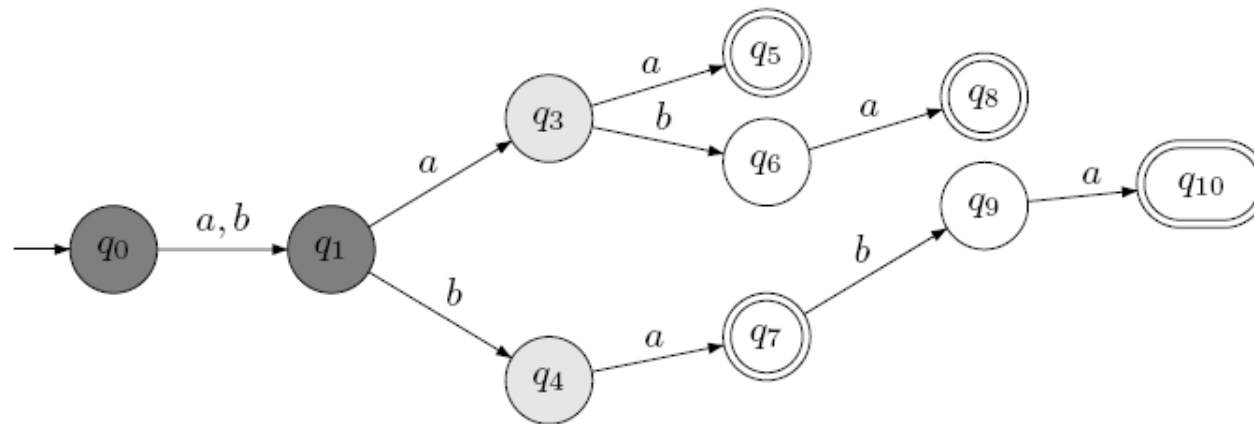


Nächster Versuch: Verschmilz  $q_0$  und  $q_2$ :



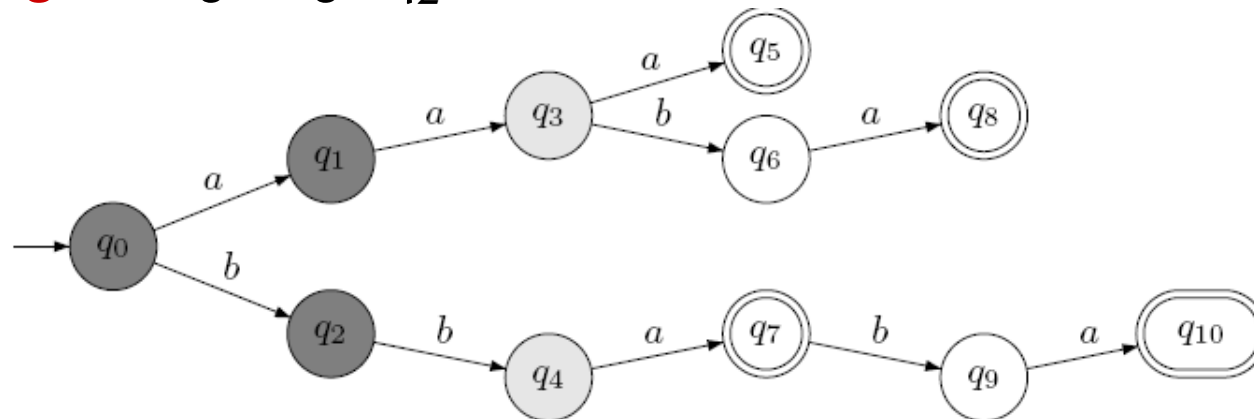
Scheitert ebenso: Der durch Determinisierung entstehende Automat akzeptiert wiederum  $a$ .

Nächster Versuch: Verschmilz  $q_1$  und  $q_2$ :



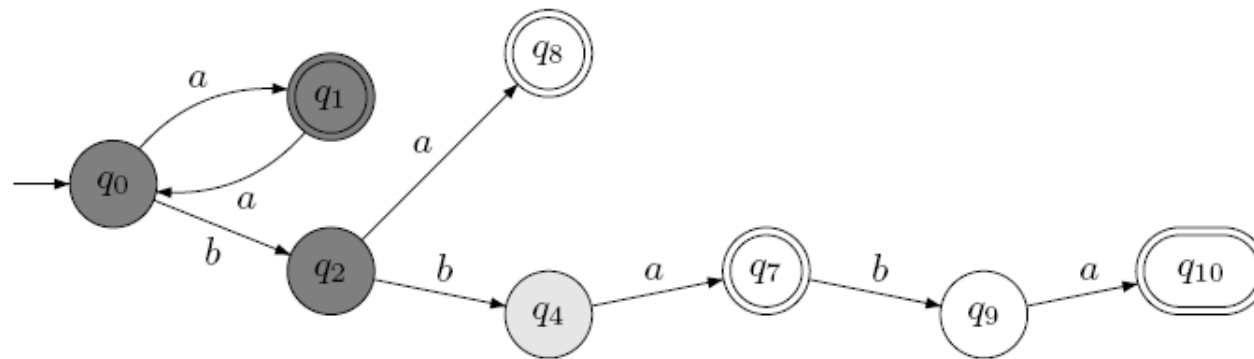
Scheitert ebenso: Der durch Determinisierung entstehende Automat akzeptiert  $aba$ .

**Beförderung** ist angesagt:  $q_2$  ist ebenfalls rot:



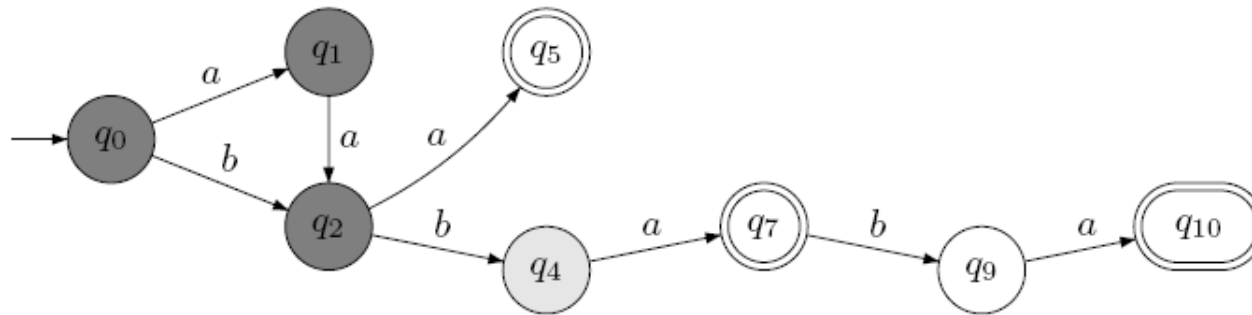
Nächster Versuch: Verschmilz  $q_0$  und  $q_3$ :

Scheitert ebenso: Der durch Determinisierung entstehende Automat akzeptiert  $\alpha$ .



Genauso scheitert (diesmal wegen  $aba$ ) das Verschmelzen von  $q_1$  und  $q_3$ .

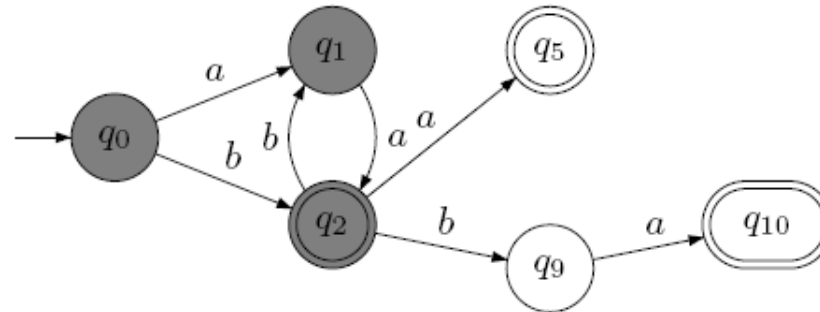
Nächster Versuch: Verschmilz  $q_2$  und  $q_3$ :



Dieses Verschmelzen verspricht Erfolg.

Mit Blick auf den PTA wird als nächstes  $q_4$  untersucht (nicht  $q_5$ ).

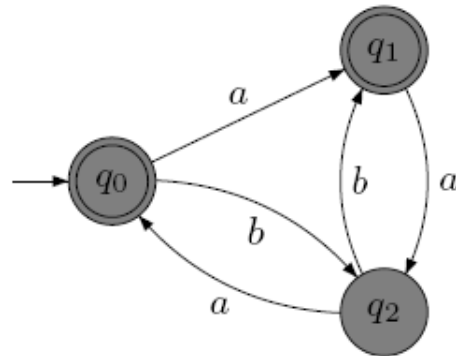
Übernächster Versuch: Verschmilz  $q_1$  und  $q_4$ : \_\_\_\_\_



Dieses Verschmelzen verspricht Erfolg.  
Mit Blick auf den PTA wird als nächstes  $q_5$  untersucht.



Nächster Versuch: Verschmilz  $q_0$  und  $q_5$ :



Wir haben jetzt alle Zustände als rot bestätigt und können den so erhaltenen Automaten “ruhigen Gewissens” als Hypothese äußern.

## Vergleich Gold und RPNI

Ausgangspunkt unterschiedliche PTAs.

Unterschiedliches Verhalten, wenn kein blauer Zustand mehr gefunden wird, der offenkundig von allen roten verschieden ist.

- 1) Gold rät; im Fehlerfall wird PTA ausgegeben.
- 2) RPNI untersucht mögliche Verschmelzungen. Das kann zu weiteren Beförderungen führen oder auch (durch Backtracking) zum (nachträglichen) Verwerfen solcher Verschmelzungs- und Beförderungsentscheidungen.

## Warum Heuristiken?

Golds Algorithmus und auch RPNI enthalten viele heuristische Entscheidungen.  
Ist das wirklich nötig?

Das “richtige Verfahren” würde doch, ausgehend von  $X = (X_+, X_-)$ , einen kleinstmöglichen DEA  $D$  suchen, der konsistent mit  $X$  ist.

**Satz:** Die Entscheidungsvariante des beschriebenen Konsistenzproblems ist NP-vollständig.

**Dennoch** konvergieren sowohl der Goldsche Algorithmus als auch RPNI (prinzipiell unabhängig von den Heuristiken).

## Eine Beweisskizze für die NP-Härte

Betrachte (o.E.; Warum?) SAT-Instanz, bei der Klauseln entweder nur positive oder nur negative Literale enthalten;

also Variablen  $\{x_1, \dots, x_n\}$  und Klauseln  $C = C_P \cup C_N$ ;  $C = \{c_1, \dots, c_m\}$ .

Konstruiere Konsistenzinstanz mit Alphabet  $\Sigma = \{a, b\}$ , Parameter  $n + m + 1$ .

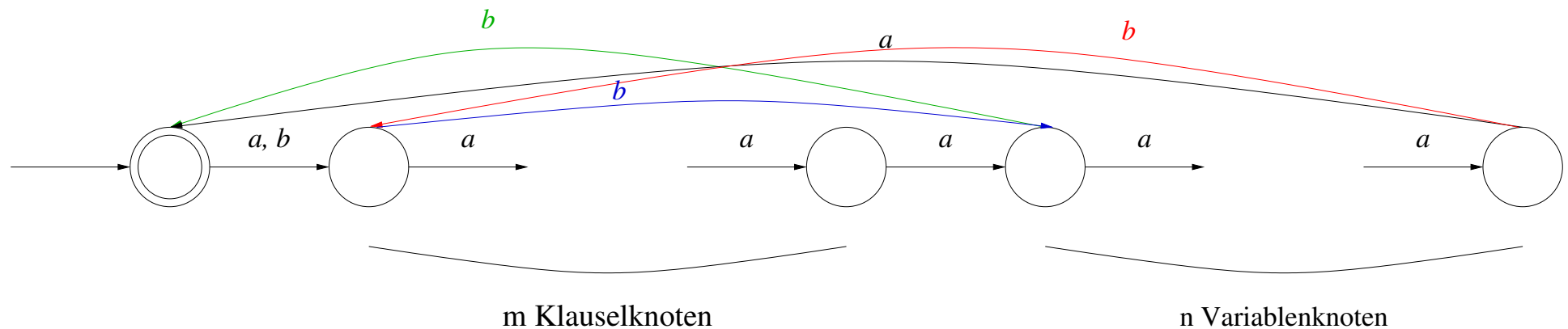
1.  $\lambda, a^{n+m+1} \in X_+, b \in X_-$ .
2. Für  $1 \leq k < n + m + 1$ ,  $a^k \in X_-, a^{n+m+k+1} \in X_-$ .
3. Für  $c_i \in C_P$ :  $a^i b b \in X_+$ , sowie  $a^i b a^{n-j+1} \in X_- \iff x_j \notin c_i$ .
4. Für  $c_i \in C_N$ :  $a^i b b \in X_-$ , sowie  $a^i b a^{n-j+1} \in X_- \iff \bar{x}_j \notin c_i$ .
5. Für  $i, j = 1, \dots, m$ :  $a^i b a^{n+j} \in X_+$ .

Wegen 1. und 2. hat jeder konsistente DEA wenigstens  $n + m + 1$  Zustände  $q_a, \dots, q_{a^{n+m+1}}$ .

Außerdem gilt:  $q_{a^k} = q_{a^{n+m+k+1}}$  für  $k = 0, \dots, n + m$ , d.h.  $q_\lambda$  ist akz.

**Zu zeigen:** SAT-Instanz erfüllbar gdw.  $\exists$  konsistenter DEA mit  $n+m+1$  Zuständen

## Eine Beweisskizze für die NP-Härte



- Blaue  $b$ -Bögen modellieren die Literalwahl pro Klausel (Bedingung 5 schließt  $b$ -Bögen zwischen Klauselknoten aus.)
- Grüne  $b$ -Bögen zeigen auf 1 gesetzte Variablen an.
- Rote  $b$ -Bögen zeigen auf 0 gesetzte Variablen an.

## Beweis für die NP-Härte

Sei  $\phi$  eine erfüllende Belegung.

Füge b-Kante von  $q_{a^{m+j}}$  nach  $q_\lambda$  ein gdw.  $\phi(x_j) = 1$ .

Füge b-Kante von  $q_{a^{m+j}}$  nach  $q_b$  ein gdw.  $\phi(x_j) = 0$ .

Es werde  $c_i \in C$  "wegen" Literal  $\ell_j \in \{x_j, \bar{x}_j\}$  erfüllt.

Füge b-Kante von  $q_{a^i}$  ein nach  $q_{a^{m+j}}$ .

$\leadsto q_\lambda = q_{a^{n+m+1}} = q_{a^{m+j}a^{n-j+1}} = q_{a^i b a^{n-j+1}} = q_{a^i b b}$  akz., falls  $c_i \in C_P$ , d.h.:  $\ell_j = x_j$

sowie  $q_\lambda = q_{a^{n+m+1}} = q_{a^{m+j}a^{n-j+1}} = q_{a^i b a^{n-j+1}}$  akz., aber  $a^i b b \in X_-$ , denn  $q_{a^i b b} = q_b$  verwirft, falls  $c_i \in C_N$ , d.h.:  $\ell_j = \bar{x}_j$

$\leadsto$  Es gibt konsistenten DEA mit  $n + m + 1$  Zuständen.

Ist  $A$  umgekehrt konsistenter DEA mit  $n + m + 1$  Zuständen, so lies Belegung  $\phi(x_j)$  von den b-Ausgängen von  $q_{a^{m+j}}$  ab:

Wird akz. Zustand erreicht, so setze  $\phi(x_j) = 1$ , sonst  $\phi(x_j) = 0$ .

Betrachte Klausel  $c_i \in C$ :

$c_i \in C_P$  wird durch  $x_j \in c_i$  erfüllt, falls  $q_{a^i b} = q_{a^{m+j}}$  wegen  $a^i b b$ ,  $a^i b a^{n-j+1} \notin X_-$ .

$c_i \in C_N$  wird durch  $\bar{x}_j \in c_i$  erfüllt, falls  $q_{a^i b} = q_{a^{m+j}}$  wegen  $a^i b b$ ,  $a^i b a^{n-j+1} \in X_-$ .

Determinismus garantiert, dass keine Widersprüche bei Belegung möglich sind.

## Ein letzter Rückblick auf Gold

Das eigentliche Problem beim Goldschen Algorithmus ist das “Löcherfüllen”.  
Hierzu passt das folgende Entscheidungsproblem:

**Gegeben:** Sample  $X = (X_+, X_-)$  (für Sprache  $L \subseteq \{a, b\}^*$ ) und dazu konsistente Beobachtungstabelle  $O : STA \times EXP \rightarrow \{0, 1, *\}$  mit offenkundig verschiedenen roten Zuständen  $RED \subseteq STA$ , sodass  $STA = RED \cup RED\{a, b\}$  und  $RED$  präfix-abgeschlossen.

**Frage:** Gibt es einen vollständigen zu  $X$  konsistenten DEA mit Zustandsmenge  $RED$ , der den aus  $(RED, X)$  abgeleiteten unvollständigen aber “sicheren” DEA als Teilautomaten enthält?

Gold konnte mit einer ähnlichen Reduktion wie der obigen zeigen, dass dieses Problem NP-hart ist. (Mitgliedschaft in NP klar.)